

اثر لاکتوفرین شیر شتر ریزپوشانی شده با کمپلکس‌های ایزوله پروتئین آب‌پنیر-پکتین بر رشد و زندگانی رده سلولی استئوبلاست MG63

معصومه راعی^۱, فخری شهیدی^{۲*}, مجید فرهودی^۳, سیدمهدي جعفری^۴, علی رافع^۵

- ۱- دانشجوی دکتری صنایع غذایی، دانشگاه فردوسی مشهد، مشهد، ایران
۲- استاد، گروه علوم و صنایع غذایی، دانشکده کشاورزی، دانشگاه فردوسی مشهد، مشهد، ایران
* نویسنده مسئول (niloofar1373@yahoo.com)
۳- استادیار، مؤسسه تحقیقات واکسن و سرم سازی رازی - شعبه شمال شرق، مشهد، ایران
۴- دانشیار، گروه مهندسی مواد، دانشگاه علوم کشاورزی و منابع طبیعی گرگان، گرگان، ایران
۵- دانشیار، گروه فرآوری مواد غذایی، مؤسسه پژوهشی علوم و صنایع غذایی، مشهد، ایران

تاریخ دریافت: ۱۳۹۶/۰۳/۱۰

تاریخ پذیرش: ۱۳۹۶/۰۴/۳۱

واژه‌های کلیدی

آب‌پنیر ایزوله
استئوبلاست
پکتین
لاکتوفرین
نوشیدنی

چکیده

لاکتوفرین یکی از مهم‌ترین ترکیبات زیست‌فعال بشمار می‌رود که قادر به افزایش فعالیت سیستم ایمنی و استخوان‌سازی می‌باشد. اما این ترکیب نسبت به استرس‌های محیطی حساس است. از این‌رو، تولید نوشیدنی فراسودمند از لاکتوفرین ریزپوشانی شده توسط نانوکمپلکس‌های حاوی پکتین/ایزوله پروتئین آب‌پنیر (WPI/HMP) در پژوهش حاضر مورد بررسی قرار گرفت. تشکیل نانوکمپلکس در غلظت کلی بیopolymer (w/w) ۰/۴ درصد در H₂Oهای اسیدی (۳، ۳/۵ و ۴) با دو روش اسیدی‌سازی قبل از اختلاط (Pr-A) و اسیدی‌سازی بعد از اختلاط (Po-A) انجام گرفت. بهمنظور ریزپوشانی لاکتوفرین این ترکیب به کمپلکس WPI/HMP که در روش (Pr-A) با نسبت ۲:۱ تشکیل شده بود، افزوده شد. نتایج ارزیابی پتانسیل زتا و بررسی قطر ذرات نشان داد که با افزایش نسبت پکتین میزان بار منفی بیشتر شده و اندازه نانوذرات افزایش یافت. بررسی اثر لاکتوفرین ریزپوشانی شده توسط نانوکمپلکس بر ازدیاد سلول استئوبلاست MG63 با استفاده از آزمایش MTT نشان داد که لاکتوفرین ریزپوشانی شده با غلظت ۵۰ میکروگرم در میلی‌لیتر رشدی معادل کنترل مثبت داشته و بهدلیل اینکه نمونه لاکتوفرین خالص با غلظت ۵۰ میکروگرم در میلی‌لیتر دارای ۱۶ درصد افزایش رشد نسبت به کنترل مثبت بوده است می‌توان نتیجه گرفت که تقریباً تمامی لاکتوفرین در ترکیب یادشده ریزپوشانی شده و یا با اتصال به کمپلکس از دسترس سلول دور مانده است. لاکتوفرین ریزپوشانی شده با غلظت ۱۰۰ میکروگرم در میلی‌لیتر توسط نانوکمپلکس، رشدی معادل ۱۱۳ درصد دارد و از نظر آماری در سطح لاکتوفرین خالص با غلظت ۵۰ میکروگرم در میلی‌لیتر قرار می‌گیرد.

درصد مردان بالای ۵۰ سال به پوکی استخوان مبتلا هستند (Aala *et al.*, 2009). استئوپروز^۱ یکی از علل اصلی هزینه‌های نگهداری و نیز مرگ در جمعیت

مقدمه

پوکی استخوان یک بیماری شایع بوده و مشخصه آن کاهش توده استخوانی است (García-Montoya *et al.*, 2011). در ایران بیش از ۷۰ درصد زنان و

^۱ Osteoporosis

بهدلیل مزایای زیاد لاكتوفرین استفاده از آن برای جلوگیری از استئوپریز ناشی از افزایش سن در یک نوشیدنی فراسودمند می‌تواند به کاهش خطر در افراد کهنسال کمک نماید. آبپنیر بهدلیل داشتن پروتئین‌های زیستفعال، دارای ارزش تغذیه‌ای بالایی است (Ferreira *et al.*, 2006). این پروتئین‌ها در مقیاس صنعتی به صورت ایزوله یا کنسانتره پروتئین آبپنیر، تولیدشده و مورداستفاده قرار می‌گیرند (Smithers, 2008). بهدلیل خصوصیات مهم صمغ پکتین، از این هیدروکلوفید به عنوان پایدارکننده نوشیدنی‌ها استفاده می‌گردد (Jensen *et al.*, 2015; Sejersen *et al.*, 2007; Surh *et al.*, 2006; Tromp *et al.*, 2004).

لاكتوفرین ماده زیستفعالی است که علی‌رغم تمامی فعالیت‌های مهم و چندگانه، در برابر استرس‌های محیطی حساس بوده و نیاز به ریزپوشانی دارد. در بخش‌های مواد غذایی و دارویی، ریزپوشانی یک روش مطلوب برای حفاظت و انتقال ترکیبات زیستفعال حساس محسوب می‌گردد (Jafari, *et al.*, 2008).

ریزپوشانی شامل روش‌های مختلف فیزیکی (کواسرواسیون) و مکانیکی (خشک‌کردن پاششی، سردکردن پاششی، لیپوزوم، پوشش‌دهی بستر سیال و اکستروژن) می‌باشد. روش کواسرواسیون تکنیک نسبتاً ساده‌ای است که از طریق جاذبه الکترواستاتیک بین ترکیبات با بار الکتریکی مخالف باعث ایجاد دیواره چندلایه در اطراف ریزکپسول‌ها شده و آنها را مقاوم می‌نماید. جهت ریزپوشانی ترکیبات زیستفعال می‌توان از بیوپلیمرها استفاده نمود.

نانوذرات بیوپلیمری یا به تنهایی از طریق تجمع و به همپیوستگی زنجیرهای یک نوع بیوپلیمر (پروتئین یا پلی‌ساقارید) و یا از طریق کنترل اتصال و کمپلکس‌شدن مولکول‌های پروتئین و پلی‌ساقارید، می‌توانند، تولید گردد (Esfanjani & Jafari, 2016; Katouzian & Jafari, 2016).

پروتئین آبپنیر به عنوان یک امولسیفایر طبیعی و تثبیت‌کننده با توانایی تولید سیستم جنبشی پایدار و خواص ترمودینامیکی و تجمع آن با پلی‌ساقاریدها ایجاد یک کمپلکس غلیظتر و رفتارهای تثبیت‌شده فضایی می‌نماید (Dickinson, 2008). پکتین یکی از

کهنسال می‌باشد (Cummings & Melton, 2002) سلول‌های بافت استخوانی از استئووسیت‌ها، استئوبلاست‌ها و استئوکلاست‌ها تشکیل شده‌اند (Garnero *et al.*, 2002).

استئووسیت‌ها^۱ ستاره‌ای‌شکل‌اند (Tate *et al.*, 2004). استئوبلاست‌ها^۲ چندضلعی هستند این سلول‌ها در محلی که فعالیت سازندگی استخوان زیاد است به مقدار فراوان حضور دارند (Arnett, 2003). استئوکلاست‌ها^۳ مسئول تجزیه ماده زمینه استخوان در هنگام استخوان‌سازی هستند. نقش استئوکلاست‌ها عکس استئوبلاست‌ها می‌باشد (Wang & Mc Cauley, 2011).

کاهش حجم استخوان درنتیجه عدم تعادل بین فعال‌سازی استئوبلاست و استئوکلاست می‌باشد تحقیق‌ها نشان‌داده که لاكتوفرین در استخوان‌سازی مؤثر است، هرچند مکانیسم عمل آن دقیقاً معلوم نشده، ولی نتایج مطالعه‌ها حاکی از این است که لاكتوفرین^۴ باعث افزایش تکثیر و تمایز استئوبلاست‌ها و مهار رشد استئوکلاست‌ها می‌گردد (Plotkin *et al.*, 1999; Jeney, 2017; Bharadwaj *et al.*, 2009).

لاكتوفرین بالقوه به عنوان یک فاکتور رشد استخوان و یک گلیکوپروتئین^۵ باندشونده به آهن از اعضای خانواده ترانسفیرین^۶ است. وزن مولکولی آن حدود ۸۰ کیلو Dalton است (Kanwar, *et al.*, 2015). غلظت لاكتوفرین در شیر شتر ۲-۶ میلی‌گرم بر میلی‌لیتر، شیر انسان (۱-۵ میلی‌گرم بر میلی‌لیتر) و شیر گاو Du *et al.*, 2017 (۰/۴۰-۰/۱۰ میلی‌گرم بر میلی‌لیتر) می‌باشد. لاكتوفرین دارای فعالیت‌های زیستی مهم از جمله فعالیت‌های آنتی‌اکسیدانی، ضدسرطانی، ضدقارچ، ضدپیروسی، ضدباکتریایی، افزایش فعالیت سیستم ایمنی و استخوان‌سازی می‌باشد (Du *et al.*, 2017). امروزه استفاده از لاكتوفرین در دنیا روبه‌افزایش بوده و مکان به کارگیری آن در مقیاس تجاری وجود دارد (Tomita *et al.*, 2009).

¹ Osteocyte

² Osteoblast

³ Osteoclast

⁴ Lactoferrin

⁵ Glycoprotein

⁶ Transferrin

سلولی استئوبلاست MG63 از آزمایش MTT استفاده گردید.

مواد و روش‌ها

شیر شتر از استان گلستان تهیه شد. ایزوله پروتئین آب‌پنیر (پروتئین ۹۶/۲ درصد) از (شرکت بین‌المللی مواد غذایی دیویس، آمریکا) و پکتین با درجه متوكسیل بالا، و نیز کلوروسدیم، تریپسین، سفادکس، سولفات آمونیوم، پراکسید هیدروژن ۳ درصد، تترامیلبنزیدین (TMB)^۱، تترازولیوم (دی‌متیل‌سولفوکساید، اسید کلریدریک، آنتی بیوتیک X liquid ۱۰۰ NaH₂PO₄ ۲H₂O، ۱۶۴۰ تیوسولفات سدیم از شرکت روش آلمان خریداری شد.

خالص‌سازی لاکتوفرین شیر شتر

خالص‌سازی لاکتوفرین براساس روش Raei و همکاران (۲۰۱۵) انجام پذیرفت. مراحل استخراج به‌طور خلاصه به قرار ذیل می‌باشد. پس از چربی‌زدایی توسط سانتریفیوژ (g ۱۵-۳۰۰۰ ۱۵-۳۰۰۰ دقیقه) کازئین شیر شتر توسط سانتریفیوژ دور بالا (g ۲۰-۲۵۰۰۰ ۲۰ دقیقه) از آب‌پنیر جدا شده و پس از عبور از صافی توسط CM Sephadex C-50 کروماتوگرافی تعویض یونی با استفاده از رزین PAGE Sephadex C-50 خالص گردید. فراکسیون‌های حاصل از شستشوی رزین توسط بافر فسفات حاوی غلظت‌های مختلف نمکی (۰/۴ تا ۰/۹ درصد) و سپس اندازه‌گیری میزان پروتئین در این فراکسیون‌ها با استفاده از اسپکتروفوتومتر در طول موج ۲۶۰ نانومتر انجام پذیرفت، در ادامه با استفاده از SDS-PAGE وزن مولکولی وجود تکباند با وزن مولکولی در محدوده ۸۰ کیلو Dalton در آنها مشخص شد. سپس با استفاده از تست برادفورد غلظت این پروتئین‌ها تعیین گردید. آنگاه با استفاده از آزمایش تولید رنگ

معروف‌ترین پلی‌ساقاریدهای است که به‌طور وسیعی در تشکیل کمپلکس با پروتئین‌های آب‌پنیر برای تولید سیستم‌های چندلایه درون‌پوشانی مورد استفاده قرار می‌گیرد (Esfanjani, et al., 2015; Esfanjani, et al., 2016; Mohammadi et al., 2017). پکتین پلی‌ساقارید غنی از اسید‌گالاکتورنیک، رامانوگالاکتازان، هولو گالاکتورونان و گزیلوگالاکتارونان می‌باشد (Mohnen, 2008). در pH زیر نقطه ایزوکلریک (pI) پروتئین‌ها، دارای بار مثبت بوده و با گروه‌های آنیونی پلی‌ساقاریدها که دارای بار منفی هستند، واکنش می‌دهند. این واکنش‌ها تحت تأثیر فاکتورهای زیادی از قبیل میزان pH، قدرت یونی، افزودن بیopolymer، تغییر شکل، دانسیتی بار و غلظت پروتئین‌ها و پلی‌ساقاریدها می‌باشند (Ye, 2008).

به‌منظور بررسی عملکرد نوشیدنی فراسودمند در آزمایشگاه، از ارزیابی اثرات آن در سلول استئوبلاست استفاده می‌گردد. در بررسی مدل رشد استئوبلاست در آزمایشگاه چندین دودمان سلولی نظریر MG-63 و Saos-2 U-2 OS وجود دارد.

یکی از روش‌های بررسی تعداد سلول‌ها در محیط کشت سلولی، اندازه‌گیری متabolیسم اسیداتیو سلولی به روش (MTT) است. MTT نمک تترازولیوم محلول در آب می‌باشد. زمانی که این ترکیب در محلول نمکی فاقد فنلرده آماده‌سازی شود محلول زرد رنگی تولید می‌نماید. این ترکیب در میتوکندری سلول‌های زنده توسط آنزیم دهیدروژناز تبدیل به ترکیب نامحلول به نام فورمازان^۲ می‌گردد که این محصول توسط حللاهایی مانند ایزوپرپانول اسیدی یا دی‌متیل‌سولفوکساید^۳ حل شده و رنگ ارغوانی-بنفش را ظاهر می‌سازد. جذب این رنگ در طول موج ۵۷۰ نانومتر توسط دستگاه اسپکتروفوتومتر اندازه‌گیری می‌شود (Mosmann, 1983).

در این پژوهش پس از ریزپوشانی لاکتوفرین توسط نانوکمپلکس پکتین-ایزوله پروتئین آب‌پنیر و ارزیابی تشکیل نانوکمپلکس، به‌منظور بررسی اثر لاکتوفرین ریزپوشانی شده بر رشد و زنده‌مانی رده

^۱ 3-(4,5-Dimethylthiazol-2-yl)-2,5-Diphenyltetrazolium Bromide

^۲ Formazan

^۳ Dimethylsulfoxide

^۴ 3,3',5,5'-Tetramethylbenzidine

^۵ Bovine Serum Albumin

به کمپلکس WPI/HMP که با استفاده از روش اسیدی‌سازی قبل از اختلاط و با نسبت ۲:۱ تشکیل شده بودند، افروده شد. به این ترتیب محلول نهایی شامل ۰/۰۷ درصد محلول ایزووله^۱، WPI، ۰/۱۳ درصد محلول HMP و ۰/۱ درصد محلول لاکتوفرین را شامل بود. میزان ۳۰ گرم از محلول نهایی با شرایط (g) ۸۰۰۰، ۳۰ دقیقه، ۲۲ درجه سانتی‌گراد) سانتریفیوژ شده و رسوب به دست آمده لیوفلیزه^۲ گردید.

مطالعه‌های مورفولوژیکی

شكل ظاهری نمونه‌ها توسط میکروسکوپ الکترونی روبشی (SEM) (لئو، ساخت آلمان) مورد بررسی قرار گرفت.

بررسی اثر نانوکمپلکس آب‌پنیر/پکتین بر سلول‌های

MTT توسط آزمایش

استئوبلاست رده MG-63 در ابتدا سلول‌های استئوبلاست جهت انجام آزمایش در مدت ۴۸ ساعت در فلاسک کشت سلولی رشد یافته به مدت ۱۰۰ هزار سلول به پلیت‌های ۹۶ خانه‌ای منتقل آماده شده پس از تعیین تعداد توسط تریپان‌بلو^۳ مقدار ۱۰۰ هزار سلول به قرار ذیل تعریف شدند:

الف- سلول به میزان ۱۰۰ هزار در تمامی چاهک‌های مورد آزمایش؛

ب- محیط کشت به میزان ۱۰۰ میکرولیتر در تمامی چاهک‌های مورد آزمایش؛

ج- نمونه‌های مورد آزمایش به میزان ۱۰۰ میکرولیتر مطابق جدول شماره (۱) آماده و اضافه گردید.

از هر نمونه تعریف شده ۷ تکرار مورد آزمایش قرار گرفت و پس از ۲۴ ساعت آزمایش MTT انجام پذیرفت. ابتدا سلول‌های موجود در پلیت، توسط PBS در ۳ مرحله شستشو داده شدند. سپس به چاهک ۲۰ میکرولیتر محلول MTT اضافه و پلیت به مدت ۴ ساعت در شرایط تاریکی در انکوباتور قرار گرفت. آنگاه ۱۰۰ میکرولیتر DMSO داخل تمام چاهک‌های پلیت اضافه و پلیت به مدت ۱۵ دقیقه همزده شد. سپس میزان جذب نوری در طول موج‌های ۵۷۰ نانومتر اندازه‌گیری گردید.

در حضور تترامتیل بنزیدین وجود لاکتوفرین و یا لاکتوپراکسیداز در فراکسیون‌ها مورد بررسی قرار گرفت. لاکتوفرین خالص شده با استفاده از کیسه دیالیز تغليظ و در ۷۰-درجه سانتی‌گراد نگهداری شد.

تشکیل نانوکمپلکس آب‌پنیر/پکتین

در ابتدا محلول‌های جداگانه ۲ درصد (w/v) از ایزووله پروتئین آب‌پنیر (WPI)^۴ و متوكسی پکتین با درجه متیلاسیون بالا (HMP)^۵ تهیه شدند. جهت تشکیل نانوکمپلکس ایزووله پروتئین آب‌پنیر/پکتین براساس روش Burgess و Singh (۱۹۸۹)^۶ غلظت کلی بیopolymer ۰/۴ درصد (w/w) در pHهای اسیدی (۳ و ۳/۵) با دو روش اسیدی‌سازی قبل از مخلوط کردن^۳ (Pr-A) و روش اسیدی‌سازی پس از اختلاط^۴ (Po-A) مورد استفاده قرار گرفت. برای تشکیل کمپلکس به روش (Po-A)، محلول‌های ذخیره پروتئین آب‌پنیر و پکتین با متوكسیل بالا در ابتدا با نسبت‌های مشخص ۰/۴، ۲/۱ و ۱/۲ رقیق‌سازی شده تا به غلظت نهایی ۰/۴ درصد برسند. پروتئین آب‌پنیر و با نسبت‌های معین مخلوط و pH نهایی از ۷ به تدریج کاهش یافته و توسط اسیدکلریدریک ۰/۵ نرمال به ۴، ۳/۵ و ۳ رسید. به منظور تشکیل کمپلکس اسیدی‌سازی با روش (Pr-A)، محلول‌های رقیق‌شده WPI و HMP به صورت جداگانه در مقدار تعیین شده یعنی ۴، ۳/۵ و ۳ توسط اسیدکلریدریک ۰/۵ نرمال تنظیم و سپس با نسبت‌های معین با یکدیگر ترکیب و به مدت ۳ دقیقه همزده (۷۵۰ دور در دقیقه) شدند.

ارزیابی تشکیل نانوکمپلکس ایزووله پروتئین

آب‌پنیر/پکتین اندازه‌گیری قطر ذرات و پتانسیل زتا قطر ذرات و پتانسیل زتابی نمونه‌ها و کمپلکس توسط دستگاه زتابایز (مدل ۲۰۰۰، Malvern، شرکت مالورن، ساخت انگلستان) اندازه‌گیری شد.

ریزپوشانی لاکتوفرین توسط کمپلکس WPI/P

جهت ریزپوشانی لاکتوفرین با غلظت نهایی ۰/۴ درصد

^۱ Freeze Dried
^۲ Trypan Blue

^۳ Whey Protein Isolate

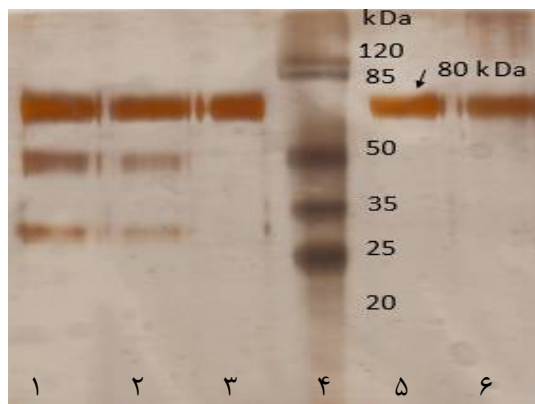
^۴ High Methoxyl Pectin

^۵ Pre-Blending Acidification

^۶ Post-Blending Acidification

جدول ۱ - نام و اجزاء نمونه مورداستفاده برای بررسی اثر لاکتوفرین ریزپوشانی شده با نانوکمپلکس ایزوله پروتئین آب‌پنیر/پکتین روی سلول استئوبلاست با استفاده از آزمایش MTT

ردیف	نمونه	اجزاء	ردیف	نمونه	اجزاء
۸	WPI	آب‌پنیر خالص به میزان به کاررفته برای تشکیل کمپلکس		HMP	پکتین خالص به میزان به کاررفته برای تشکیل کمپلکس
۹	LF50	لاکتوفرین خالص با غلظت ۵۰ میکروگرم بر میلی لیتر		WPI+LF50	آب‌پنیر خالص به میزان به کاررفته برای تشکیل کمپلکس همراه با لاکتوفرین خالص با غلظت نهایی ۵۰ میکروگرم بر میلی لیتر
۱۰	WPI+HMP+LF100	پکتین و آب‌پنیر همراه با لاکتوفرین با غلظت نهایی ۱۰۰ میکروگرم بر میلی لیتر (کمپلکس تشکیل شده با غلظت ۱۰۰ لاکتوفرین)		WPI+LF100	آب‌پنیر خالص به میزان به کاررفته برای تشکیل کمپلکس همراه با لاکتوفرین خالص با غلظت نهایی ۱۰۰ میکروگرم بر میلی لیتر PBS و در آخر زمان آزمایش اثر نموندها قبل از آزمایش MTT از مرگ سلول‌ها توسط DMSO
۱۱	LF100	لاکتوفرین خالص با غلظت ۱۰۰ میکروگرم بر میلی لیتر		CO-	CO-
۱۲	HMP+LF50	پکتین خالص به میزان به کاررفته برای تشکیل کمپلکس همراه با لاکتوفرین خالص با غلظت نهایی ۵۰ میکروگرم بر میلی لیتر		WPI+HMP	پکتین و آب‌پنیر به میزان به کاررفته برای تشکیل کمپلکس
۱۳	HMP+LF100	پکتین خالص به میزان به کاررفته برای تشکیل کمپلکس همراه با لاکتوفرین خالص با غلظت نهایی ۱۰۰ میکروگرم بر میلی لیتر		WPI+HMP+LF50	پکتین و آب‌پنیر همراه با لاکتوفرین با غلظت نهایی ۵۰ میکروگرم بر میلی لیتر (کمپلکس تشکیل شده با غلظت ۵۰ لاکتوفرین)
		PBS		CO+	CO+
		۶		۷	



شكل ۱ - نتایج حاصل از الکتروفوروز فراکسیون‌های خالص شده توسط کروماتوگرافی تعویض یونی دیدن باندهای خالص در ناحیه ۸۰ کیلوdalton شماره ۴ مارکر پروتئین (۱۲۰ کیلوdalton)، شماره ۱ (فراکسیون ۰/۴ مولار درصد کلوروسدیم)، شماره ۲ (فراکسیون ۰/۵ مولار)، شماره ۳ (فراکسیون ۰/۶ مولار)، شماره ۵ (فراکسیون ۰/۷ مولار) و شماره ۶ (فراکسیون ۰/۸ مولار)

آنالیزهای آماری

داده‌های حاصل با استفاده (ANOVA) و مقایسه میانگین‌ها از طریق آزمون دانکن در سطح ۹۵ درصد و از طریق SPSS نسخه ۲۱ آنالیز گردیدند.

نتایج

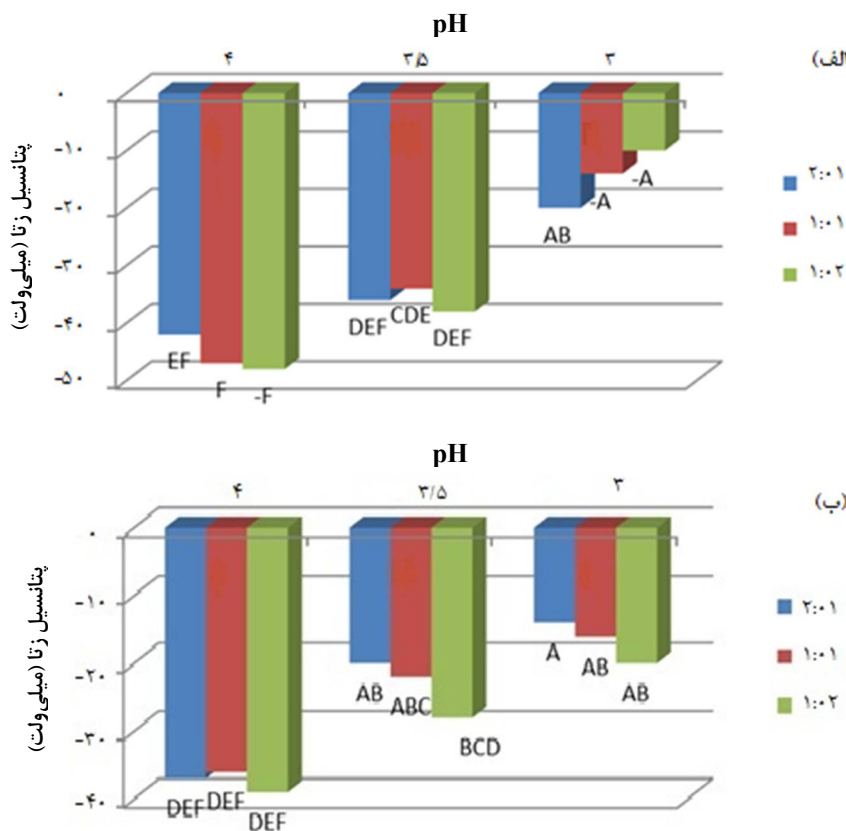
نتایج حاصل از خالص‌ساز لاکتوفرین شیر شتر

نتایج نشان داد که باند مورد نظر در محدوده وزن مولکولی ۸۰ کیلوdalton، در گرادیان‌های ۰/۰ تا ۰/۸ درصد کلوروسدیم مشاهده می‌شود که نشان‌دهنده لاکتوفرین و یا لاکتوپراکسیداز در این فراکسیون‌ها می‌باشد (شکل ۱).

پروتئین آب‌پنیر میزان بار منفی بیشتر شده که به افزایش سطح شارژ منفی نانوذرات تشکیل شده در پی افزایش پتانسیل بار منفی مربوط می‌گردد (شکل ۲). نتایج مشابه‌ای برای فرمولاسیون امولسیون‌ها توسط Mirhosseini و همکاران (۲۰۰۸) گزارش شده است. در حقیقت میزان پتانسیل زتا بالا (مثبت یا منفی) با ایجاد شارژ الکتریکی بالاتر روی سطح قطره‌های امولسیون و ایجاد نیروهای دافعه قوی در بین قطره‌ها از تجمع آنها در محلول محافظت نموده و سیستم را پایدار می‌نماید (Honary & Zahir, 2013).

نتایج حاصل از اندازه‌گیری پروتئین به روش برادفورد نشان داد که غلظت پروتئین در فراکسیون‌های $0/4$, $0/5$, $0/6$, $0/7$ و $0/8$ به ترتیب ۲۲۳ , ۲۵۰ , ۲۴۴ , ۲۰۴ و ۱۶۴ میکروگرم در میلی‌لیتر بوده است. نتایج حاصل آزمایش TMB نشان می‌دهد که فراکسیون‌های $۰/۶$ و $۰/۷$ در حضور تترامتیل بنزیدین تغییر رنگ نداشته بنابراین لاکتوفرین خالص می‌باشد.

نتایج حاصل از ارزیابی تشکیل نانوکمپلکس آب‌پنیر/پکتین پتانسیل زتا و اندازه نانوکمپلکس ایزوله پروتئین آب‌پنیر/پکتین نتایج نشان داد با افزایش نسبت پکتین به ایزوله



شکل ۲ - نتایج حاصل از اندازه‌گیری پتانسیل زتا (میلی‌ولت) نانوکمپلکس WPI-HMP در نسبت‌های مختلف مقایسه میانگین‌ها با حروف نشان داده شده است. (الف) اسیدی‌سازی با روش قبل از ساخت (Pr-A) و (ب) اسیدی‌سازی با روش بعد از ساخت (Po-A)

نسبت WPI-HMP تأثیری بر پتانسیل زتا ندارد ($P<0/05$). اما در $pH=4$ و $pH=3/5$ تأثیر معنی‌داری دیده شد ($P<0/005$). کمترین پتانسیل زتا در کمپلکس تشکیل شده WPI-HMP در نسبت $2:1$ و $pH=3$ دیده شده است (شکل ۲).

در نانوکمپلکس‌های تشکیل شده از طریق روش اسیدی‌سازی قبل از اختلاط (Pr-A) پایین‌ترین پتانسیل زتا مربوط به تشکیل WPI-HMP در نسبت $1:2$ و $pH=3$ می‌باشد. همچنین نتایج نشان داد که در روش اسیدی‌سازی بعد از اختلاط (Po-A) در $pH=4$

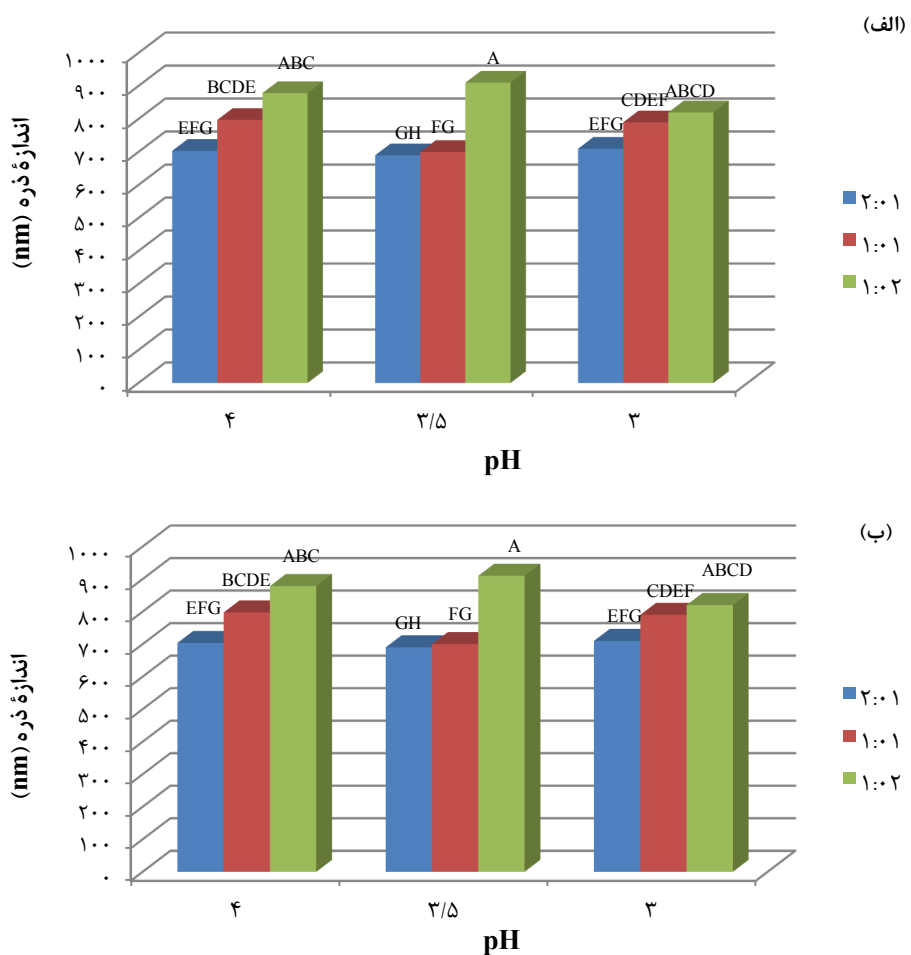
ضخامت لایه بیرونی با بهکارگیری غلظت‌های بیشتر بیوپلیمر باشد.

در تأیید نتایج به دست آمده، Peinado و همکاران (۲۰۱۰) گزارش نمودند که افزودن پلی‌ساقاریدها به سوسپانسیون نانوذرات پروتئین سبب افزایش قطر ذراتی می‌گردد که تمایل به ایجاد رسوب دارند و این امر به خاطر تجمع لایه پلی‌ساقارید اطراف ذرات پروتئینی و یا بدليل ایجاد پل‌های عرض بین تجمع‌های پروتئینی تشکیل شده می‌باشد (شکل ۳-ب). به طور کلی روش اسیدی‌سازی (Po-A) در مقایسه با روش دیگر ایجاد کمپلکس‌هایی با ذرات بزرگ‌تر می‌نماید که این مسئله را می‌توان این‌گونه توضیح داد که روش تدریجی اسیدی‌نمودن به کمپلکس‌ها زمان بیشتر بهمنظور بازآرایی ساختار فشرده خود می‌دهد (Bédé et al., 2008).

نتایج حاصل از اندازه‌گیری قطر ذرات نانوکمپلکس WPI/HMP

نتایج حاصل از اندازه‌گیری قطر ذرات نشان می‌دهد (شکل ۲)، در هر دو روش (Pr-A) و (Po-A)، اندازه نانوذرات با کاهش نسبت پروتئین به پکتین، افزایش می‌یابد. کمپلکس WPI-HMP در روش Pr-A (Po-A) در نسبت ۱:۲ و pH=۳ نانوذراتی با اندازه کوچک (۷۱۰ نانومتر) تولید می‌گردد. در حالی که بزرگ‌ترین اندازه ذرات در روش Po-A، نسبت ۱:۵ و در pH=۳/۵ بود (شکل ۳-الف).

نتایج نشان می‌دهد که با کاهش pH افزایش شارژ مثبت ایزوله پروتئین آب‌پنیر و بار منفی مولکول‌های پکتین اتفاق می‌افتد که درنتیجه نانوذراتی با اندازه کوچک‌تر ایجاد می‌گردد. از طرف دیگر، اندازه نانوذرات با افزایش نسبت پکتین به ایزوله آب‌پنیر افزایش می‌یابد. این حالت ممکن است درنتیجه افزایش



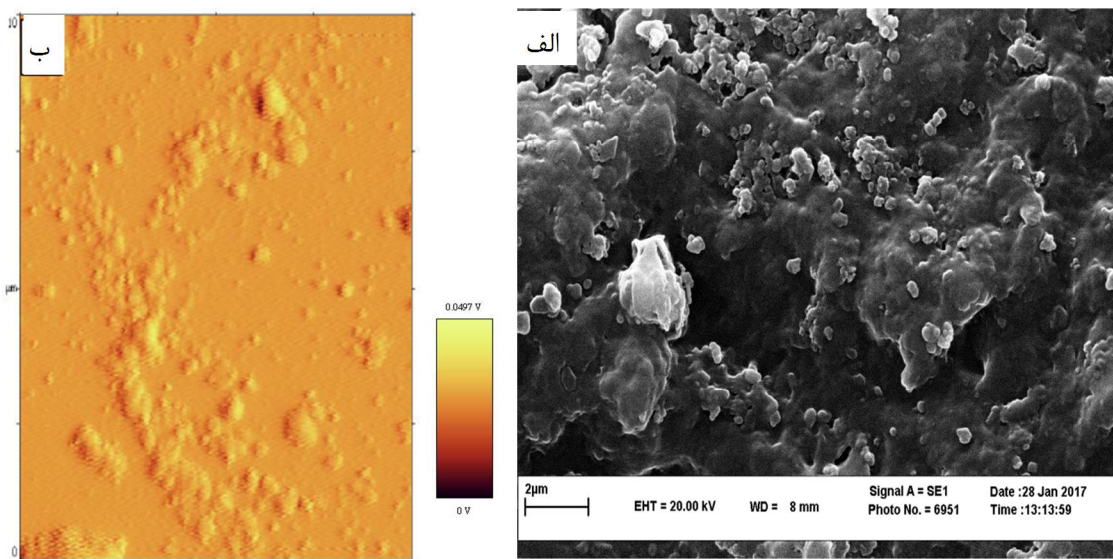
شکل ۳ - نتایج حاصل از اندازه‌گیری قطر ذرات (نانومتر) نانوکمپلکس WPI-HMP در نسبت‌های مختلف مقایسه میانگین‌ها با حروف نشان داده شده است. (الف) اسیدی‌سازی با روش قبل از ساخت (Pr-A) (ب) اسیدی‌سازی با روش بعد از ساخت (Po-A)

نشان داد که بالاترین و پایین‌ترین میزان لاكتوفرین در نسبت ۲:۱ در روش (P0-A) و در $pH=4$ و نیز در هر دو روش در $pH=3$ مشاهده شد.

نتایج نشان داد که بازده ریزپوشانی در روش اسیدی‌سازی قبل (Pr-A) به طور معنی‌داری ($P<0.005$) بیشتر از این بازده در روش دیگر می‌باشد. شباهت زیادی در توزیع سایز نانوذرات مشاهده شده در هر دو تصویر AFM و SEM مشاهده می‌گردد (شکل ۴).

نتایج حاصل از ریزپوشانی لاكتوفرین توسط نانوکمپلکس WPI-HMP در pHهای مختلف

نتایج حاصل از بازده رسوب کمپلکس در هر دو روش مورداستفاده با افزایش نسبت WPI افزایش و با افزایش pH از ۳ به ۴ کاهش می‌یابد این امر می‌تواند ناشی از تأثیر متقابل بهتر ناشی از افزایش بار منفی پکتین و بار Bédé et al., pH در اثر کاهش باشد (2008). نتایج حاصل از کارایی ریزپوشانی لاكتوفرین



شکل ۴ - نتایج حاصل از SEM و AFM نانوکمپلکس WPI-HMP در نسبت ۲:۱ در $pH=3$

ثبت داشته است و از آنجاکه نمونه لاكتوفرین با غلظت ۵۰ میکروگرم بر میلی‌لیتر دارای ۱۶ درصد افزایش رشد نسبت به کنترل ثابت بوده است، می‌توان نتیجه گرفت که تقریباً تمامی لاكتوفرین در ترکیب یادشده ریزپوشانی شده و یا با اتصال به کمپلکس از دسترس سلول دور مانده است، اما نتایج حاصل از لاكتوفرین ریزپوشانی شده با غلظت ۱۰۰ میکروگرم بر میلی‌لیتر توسط نانوکمپلکس WPI/HMP رشدی معادل ۱۱۲ درصد را نشان می‌دهد و بیان‌کننده این مطلب است که ۱۳ درصد افزایش رشد نسبت به کنترل ثابت بوده و از نظر آماری در سطح لاكتوفرین با غلظت ۵۰ میکروگرم بر میلی‌لیتر می‌باشد (شکل ۵). بنابراین با مقایسه نتایج ذکر شده می‌توان نتیجه گرفت حدود نیمی از لاكتوفرین‌ها در WPI/HMP+LF100 ریزپوشانی شده

نتایج حاصل از AFM و SEM نانوکمپلکس WPI

نتایج حاکی از این است که نانوذرات کمپلکس اشکال کروی و اندازهٔ ذراتی در حد نانو داشته و طیف گسترده‌ای از اندازهٔ ذرات را نشان می‌دهند.

نتایج حاصل از بررسی اثر نانوکمپلکس ایزولهٔ پروتئین آب‌پنیر/پکتین روی سلول استئوبلاست MTT توسط آزمایش MG63

نتایج حاصل از بررسی اثر نانوکمپلکس ایزولهٔ آب‌پنیر/پکتین روی سلول استئوبلاست MG63 توسط آزمایش MTT نشان می‌دهد که سلول‌های استئوبلاست در مجاورت با لاكتوفرین و ایزولهٔ پروتئین آب‌پنیر افزایش رشد و تکثیر داشته‌اند. لاكتوفرین ریزپوشانی شده با غلظت ۵۰ میکروگرم بر میلی‌لیتر توسط نانوکمپلکس WPI/HMP رشدی معادل کنترل

استئوبلاست نیز تأثیر لاکتوفرین بر ساخت ماتریکس خارج سلولی افزایش می‌باید. Comish و همکاران (۲۰۰۴) و Takayama و همکاران (۲۰۰۸) به علاوه نشان داده‌شده که لاکتوفرین باعث افزایش طول عمر استئوبلاست‌ها نیز می‌شود و آپوپتوز استئوبلاست‌ها در حضور لاکتوفرین کاهش می‌یابد به طوری که در حضور غلظت ۵۰ میکروگرم در میلی‌لیتر لاکتوفرین، این میزان به کمتر از ۵۰ درصد می‌رسد و واپسی به مقادیر Cornish *et al.*, 2004; Grey *et al.*, 2006. کاهش می‌یابد (Hou *et al.*, 2014).

مطالعه‌های آزمایشگاهی نشان داده است که لاکتوفرین از طریق افزایش استئوبلاست‌ها و کاهش آپوپتوز آنها و نیز از طرق افزایش آپوپتوز سلول‌های استئوکلاست سبب افزایش تراکم استخوان گردد (Cornish *et al.*, 2004). همچنین نتایج محققین بیان‌کننده این مطلب است که آپوپتوز استئوبلاست‌ها در غلظت ۱۰ میکروگرم در میلی‌لیتر لاکتوفرین مهار می‌گردد (Hou *et al.*, 2014).

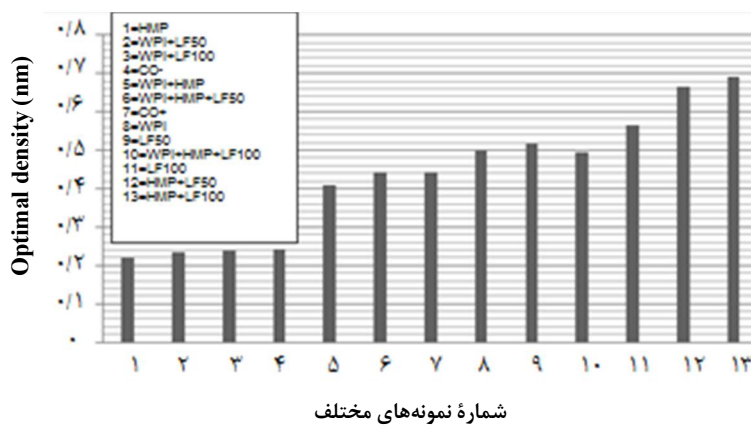
نتایج مربوط به نمونه‌های کنترل مثبت، ترکیب پکتین با WPI و نیز ترکیب پکتین با WPI همراه با ۵۰ میلی‌گرم بر میلی‌لیتر لاکتوفرین نشان می‌دهند که این نمونه‌ها در یک سطح قرار دارند و اختلاف معنی‌داری با یکدیگر ندارند ($P < 0.05$). این نتایج می‌تواند بحث مربوط به دخالت بارهای سطحی در رشد سلولی را تأیید نماید بدین‌منظور که بارهای منفی HMP با بارهای مثبت WPI خنثی شده است تا سلول بتواند به طور عادی رشد نماید. درخصوص نمونه‌های WPI، LF50 و WPI+HMP+LF100 که از نظر آماری در یک سطح می‌باشند. ضریب رشد در مقایسه با کنترل مثبت به ترتیب ۱۱۲/۴، ۱۱۳ و ۱۱۶ درصد می‌باشد. نمونه LF100 دارای ضریب رشدی معادل ۱۲۷/۵ درصد بوده که از نظر آماری با سایر نمونه‌ها تفاوت معنی‌داری دارد ($P < 0.05$).

و نیمی آزاد باقی می‌ماند تا موجب افزایش رشد سلولی گردد.

میزان رشد برای ترکیب لاکتوفرین و پکتین در هر دو غلظت ۵۰ و ۱۰۰ میکروگرم بر میلی‌لیتر لاکتوفرین بیشتر از تمامی نمونه‌های مورد بررسی بوده است که علی‌رغم داشتن تفاوت عددی از نظر آماری با یکدیگر اختلاف معنی‌داری ندارند، اما با سایر نمونه‌های مورد آزمایش اختلاف معنی‌داری ($P < 0.05$) مشاهده شد. این امر شاید به دلیل این باشد که ترکیب پکتین با لاکتوفرین به لاکتوفرین بار منفی می‌دهد (Bengoechea *et al.*, 2011) و لاکتوفرین می‌تواند بهتر در دسترس سلول قرار گیرد. نتایج حاصل از نمونه‌های حاوی ترکیب لاکتوفرین و آب‌پنیر در هر دو غلظت ۵۰ و ۱۰۰ میکروگرم بر میلی‌لیتر لاکتوفرین که هیچ رشد سلولی را نشان نمی‌دهد این تحلیل را ثابت می‌نماید یعنی اینکه ترکیب هر دو پروتئین با بارهای مثبت سبب افزایش بار مثبت در محلول شده و از تکثیر سلول استئوبلاست جلوگیری نموده است.

نتایج سایر محققین نشان می‌دهد که لاکتوفرین در شرایط آزمایشگاهی باعث افزایش بقا و تمایز سلول‌های استئوبلاست و مهار تشکیل استئوکلاست می‌شود و در زمان کمبود استروژن از کاهش بافت استخوان جلوگیری می‌نماید (Naot *et al.*, 2012). همچنین مطالعه‌های آزمایشگاهی نشان می‌دهد که تکثیر سلول‌های استئوبلاست در مجاورت لاکتوفرین افزایش می‌یابد، به طوری که در غلظت ۱۰ میکروم در میلی‌لیتر لاکتوفرین، تقسیم هسته ۲ برابر شده و در غلظت ۱۰۰۰ میکروگرم در میلی‌لیتر، ۵ برابر خواهد شد (Cornish *et al.*, 2004).

تحقیق‌ها روی تمایز، تکثیر و فعالیت استئوبلاست‌ها نشان می‌دهد که در غلظت ۱۰۰ میکروگرم در میلی‌لیتر و بالاتر لاکتوفرین، سطح معدنی‌شدن افزایش داشته و با میزان ثابت سلول



شکل ۵ - نتایج حاصل از بررسی اثر لاکتوفرین ریزپوشانی شده با نانوکمپلکس ایزوله پروتئین آبپنیر/پکتین روی سلول استئوبلاست MG63 با استفاده از آزمایش MTT

درون سلوالی^۱ دیده شد که تزریق لاکتوفرین در همی کالواریا^۲ موش های نر باعث افزایش ضخامت استخوان در سمت مورد نظر می شود. به ویژه در غلظت ۴ میلی گرم در میلی لیتر این ضخامت ۴ برابر گروه کنترل بوده است (Cornish *et al.*, 2004).

همچنین توسط Grey و همکاران (۲۰۰۴) نیز گزارش کرده اند که در سطح (LRP1) و (LRP2) گیرنده هایی وجود دارند که در اثر اتصال لاکتوفرین به این گیرنده ها لاکتوفرین پس از ۳۰ دقیقه اندوسیتوز می گردد. همچنین لاکتوفرین قادر است فسفوریلاسیون MAP kinases p42/44 را تحريك نموده و از این طریق سبب تکثیر بیشتر سلول استئوبلاست گردد.

گزارش شده است Hill و همکاران (۱۹۹۷) که رشد و تزايد سلول های استئوبلاست و الیگو دندروسیتها نیاز به فاکتورهای رشد اختصاصی نظیر IGF-I و IGF-II دارند هنگاهی که این سلول ها از فاکتور رشد محروم می شوند بمنظر می رسد مسیرهای مرگ سلوالی فعال می شود و این سلول ها خودشان را می کشند یعنی آپاتوزیس اتفاق می افتد. اینکه در نمونه های WPI+LF100، WPI+LF50 و HMP تجمع زیاد بارهای همنام برای WPI+LF50 و WPI+LF100 بار مثبت و برای HMP بار منفی چگونه سبب فعال شدن مرگ برنامه ریزی سلول می شوند و یا

Hou و همکاران (۲۰۱۵) و Takaoka و همکاران (۲۰۱۱) به بررسی اثر لاکتوفرین در تکثیر و تمایز سلول های استئوبلاست موش از طریق تنظیم افزایشی انسولین و بیان فاکتور رشد پرداختند، نتایج نشان داد که رشد سلول های استئوبلاست افزایش یافته اند نتایج تحقیق حاضر با نتایج این محققین همخوانی دارد. این طور به نظر می رسد که لاکتوفرین می تواند همانند عوامل رشد دیگر در استخوان سازی مؤثر باشد و کیفیت و کمیت ترمیم استخوان را بهبود بخشد. مشاهده شده است که لاکتوفرین گاوی در شرایط آزمایشگاهی در غلظت ۱۰۰ میکرو گرم در میلی لیتر تشکیل استئوکلاست ها را متوقف می نماید (Cornish *et al.*, 2004).

اثر لاکتوفرین در بستر تیتانیوم توسط (Kim *et al.*, 2014) به منظور افزایش فعالیت سلول استئوبلاست رده MG-63 موردن بررسی قرار دادند و بیان کردند که فعالیت استئوبلاست، باعث فعالیت آلکالن فسفاتاز شده و کلسیم در کشت بستر های تیتانیوم و لاکتوفرین نسبت به کشت سلول در بستر های تیتانیوم تنها بیشتر رسوب کرده اند، این امر نشان می دهد که لایه تیتانیوم و لاکتوفرین بی حرکت در افزایش فعالیت استئوبلاست مؤثر بوده است.

تشکیل استئوکلاست های جدید نیز به طور معنی داری کاهش می یابد به طوری که در غلظت ۱۰۰ میکرو گرم در میلی لیتر لاکتوفرین، تشکیل استئوکلاست ها متوقف می شود. ولی لاکتوفرین تأثیری بر استئوکلاست های بالغ ندارد. در مطالعه های

¹ Invitro

² Hemicalvaria

pکتین، افزایش یافت. نتایج نشان داد که با کاهش pH افزایش بار مثبت ایزوله پروتئین آبپنیر و بار منفی مولکول‌های pکتین اتفاق می‌افتد که درنتیجه نانوذراتی با اندازه کوچکتر ایجاد می‌گردد. از طرف دیگر، اندازه نانوذرات با افزایش نسبت pکتین به ایزوله آبپنیر افزایش یافت. این حالت درنتیجه افزایش ضخامت لایه بیرونی با بهکارگیری غلظت‌های ایزوله آبپنیر افزایش یافت. این حاصل از بررسی اثر بیشتر بیopolymer است. نتایج حاصل از بررسی اثر نانوکمپلکس ایزوله آبپنیر/pکتین روی سلول استئوبلاست MG63 توسط آزمایش MTT نشان داد که سلول‌های استئوبلاست در مجاورت با لاکتوفرین و ایزوله پروتئین آبپنیر افزایش رشد و تکثیر داشته‌اند. لاکتوفرین ریزپوشانی شده با غلظت ۵۰ میکروگرم بر میلی‌لیتر توسط نانوکمپلکس WPI/HMP رشدی معادل کنترل مثبت داشته است. لذا می‌توان نتیجه گرفت که لاکتوفرین ریزپوشانی شده با غلظت ۱۰۰ میکروگرم در میلی‌لیتر توسط نانوکمپلکس، رشدی معادل ۱۱۳ درصد دارد و از نظر آماری در سطح لاکتوفرین خالص با غلظت ۵۰ میکروگرم در میلی‌لیتر قرار گرفت.

از سایر مسیرها از رشد سلول استئوبلاست جلوگیری نموده‌اند باید بیشتر مورد بررسی قرار گیرند. محقق دیگر Grey و همکاران (۲۰۰۶) بیان می‌دارد که لاکتوفرین گاوی علاوه‌بر مسیر وابسته به LPR1 که سبب فعال‌سازی PI3 kinase و مهار P42/44 MAP kinase می‌شود با مسیر دیگری سبب تکثیر استئوبلاست می‌گردد که نشان می‌دهد برای روش‌شنیدن مسیر اثر لاکتوفرین بر سلول‌های استئوبلاست تحقیق‌های زیادی مورد نیاز می‌باشد.

نتیجه‌گیری

ریزپوشانی لاکتوفرین توسط نانوکمپلکس pکتین - ایزوله پروتئین آبپنیر و ارزیابی تشکیل نانوکمپلکس آن با هدف اثر لاکتوفرین ریزپوشانی شده MG63 بر رشد و زندمانی ردۀ سلولی استئوبلاست موردنبررسی قرار گرفت. با افزایش مقدار pکتین، میزان بار منفی بیشتر شده که به افزایش سطح بار منفی نانوذرات تشکیل شده استناط می‌شود. کمترین پتانسیل زتا در کمپلکس WPI-HMP در نسبت ۲:۱ و pH=۳ مشاهده شد. در هر دو روش (Pr-A) و (A)، اندازه نانوذرات با کاهش نسبت پروتئین به

منابع

- Aala, M., Aghaei Meybodi HR, Peymani M, & Larijani B. (2009). Osteoporosis and exercise in postmenopausal women. *Iranian Journal of Endocrinology & Metabolism*, 11(2), 209-217.
- Arnett T. (2003). Regulation of bone cell function by acid-base balance. *Proceedings of the Nutrition Society*, 62(2):511-520. doi: <https://doi.org/10.1079/PNS2003268>
- Bédié, G.K., Turgeon, S.L., & Makhlof, J. (2008). Formation of native whey protein isolate–low methoxyl pectin complexes as a matrix for hydro-soluble food ingredient entrapment in acidic foods. *Food Hydrocolloids*, 22(5), 836-844. doi: <https://doi.org/10.1016/j.foodhyd.2007.03.010>
- Bengoechea, C., Jones, O.J., Guerrero, A., & McClements, D.J. (2011). Formation and characterization of lactoferrin/pectin electrostatic complexes: Impact of composition, pH and thermal treatment. *Food Hydrocolloids*, 25(5), 1227-1232. doi: <https://doi.org/10.1016/j.foodhyd.2010.11.010>
- Bharadwaj, S., Naidu, A.G.T., Betageri, G.V., Prasadrao, N.V., & Naidu, A.S. (2009). Milk ribonuclease-enriched lactoferrin induces positive effects on bone turnover markers in postmenopausal women. *Osteoporosis International*, 20(9), 1603-1611. doi: <https://doi.org/10.1007/s00198-009-0839-8>
- Cornish, J., Callon, K.E., Naot, D., Palmano, K.P., Banovic, T., Bava, U., Watson, M., Lin, J.-M., Tong, P.C., Chan, Q.C.V.A., Reid, H.L., Fazzalari, N., Baker, H.M., Haggarty, N.W., Grey, A.B., & Reid, I.R. (2004). Lactoferrin is a potent regulator of bone cell activity and increases bone formation *in vivo*. *Endocrinology*, 145(9), 4366-4374. doi: <https://doi.org/10.1210/en.2003-1307>
- Cummings, S.R., & Melton, L.J. (2002). Epidemiology and outcomes of osteoporotic fractures. *The Lancet*, 359(9319), 1761-1767. doi: [https://doi.org/10.1016/S0140-6736\(02\)08657-9](https://doi.org/10.1016/S0140-6736(02)08657-9)
- Dickinson, E. (2008). Interfacial structure and stability of food emulsions as affected by protein-polysaccharide interactions. *Soft Matter*, 4(5), 932-942.

- Du, M., Liu, M., Fan, F., Shi, P., & Tu, M. (2017). *Structure, function, and nutrition of lactoferrin*. (pp. 33-61). In *Mineral Containing Proteins*, Springer.
- Esfanjani, A.F., Jafari, S.M., Assadpoor, E., & Mohammadi, A. (2015). Nano-encapsulation of saffron extract through double-layered multiple emulsions of pectin and whey protein concentrate. *Journal of Food Engineering*, 165, 149-155. doi: <https://doi.org/10.1016/j.jfoodeng.2015.06.022>
- Esfanjani, A.F., & Jafari, S.M. (2016). Biopolymer nano-particles and natural nano-carriers for nano encapsulation of phenolic compounds. *Colloids and Surfaces B: Biointerfaces*, 146(1), 532-543. doi: <https://doi.org/10.1016/j.colsurfb.2016.06.053>
- Esfanjani, A.F., Jafari, S.M., & Assadpoor, E. (2017). Preparation of a multiple emulsion based on pectin-whey protein complex for encapsulation of saffron extract nanodroplets. *Food Chemistry*, 221, 1962-1969. doi: <https://doi.org/10.1016/j.foodchem.2016.11.149>
- Ferreira, S.E., Mello, M.T., Pompeia, S., & Souza-Formigoni, M.L. (2006). Effects of energy drink ingestion on alcohol intoxication. *Alcoholism: Clinical and Experimental Research*, 30(4), 598-605. doi: <https://doi.org/10.1111/j.1530-0277.2006.00070.x>
- García-Montoya, I.A., Cendón, T.S., Arévalo-Gallegos, S., & Rascón-Cruz, Q. (2012). Lactoferrin a multiple bioactive protein: an overview. *Biochimica et Biophysica Acta (BBA)-General Subjects*, 1820(3), 226-236. doi: <https://doi.org/10.1016/j.bbagen.2011.06.018>
- Garnero, P., & Delmas, P.D. (2002). Evaluation of risk for osteoporosis fractures. In: Bilezikian, J.P., Raisz, L.G., Rodan, G.A. (Eds). *Principles of bone biology*, (pp.1291-1301, 2nd ed): San Diego, CA: Academic Press.
- Grey, A., Banovic, T., Zhu, Q., Watson, M., Callon, K., Palmano, K., Ross, J., Naot, D., Reid, I.R., & Cornish, J. (2004). The low-density lipoprotein receptor-related protein 1 is a mitogenic receptor for lactoferrin in osteoblastic cells. *Molecular Endocrinology*, 18(9), 2268-2278. doi: <https://doi.org/10.1210/me.2003-0456>
- Grey, A., Zhu, Q., Watson, M., Callon, K., & Cornish, J. (2006). Lactoferrin potently inhibits osteoblast apoptosis, via an LRP1-independent pathway. *Molecular and Cellular Endocrinology*, 251(1-2), 96-102. doi: <https://doi.org/10.1016/j.mce.2006.03.002>
- Hill, P.A., Tumber, A., & Meikle, M.C. (1997). Multiple extracellular signals promote osteoblast survival and apoptosis. *Endocrinology*, 138(9), 3849-3858. doi: <https://doi.org/10.1210/endo.138.9.5370>
- Honyary, S., & Zahir, F. (2013). Effect of zeta potential on the properties of nano-drug delivery systems a review (Part 1). *Tropical Journal of Pharmaceutical Research*, 12(2), 255-264. doi: <http://dx.doi.org/10.4314/tjpr.v12i2.19>
- Hou, J.M., Chen, E.Y., & Wei, S.C. (2014). Lactoferrin inhibits apoptosis through insulin-like growth factor I in primary rat osteoblasts. *Acta Pharmacol Sinica*, 35(4), 523-530.
- Hou, J.M., Chen, E.Y., Lin, F., Lin, Q.M., Xue, Y., Lan, X.H., & Wu, M. (2015). Lactoferrin induces osteoblast growth through IGF-1R. *International Journal of Endocrinology*, 1, 282-286. doi: <http://dx.doi.org/10.1155/2015/282806>
- Jafari, S.M., Assadpoor, E., He, Y., & Bhandari, B. (2008). Encapsulation efficiency of food flavours and oils during spray drying. *Drying Technology*, 26(7), 816-835. doi: <https://doi.org/10.1080/07373930802135972>
- Jeney, V. (2017). Clinical impact and cellular mechanisms of iron overload-associated bone loss. *Front Pharmacol*, 8:77. doi: <https://doi.org/10.3389/fphar.2017.00077>
- Jensen, E.V., Buch-Andersen, T., Ravn-Haren, G., & Dragsted, L.O. (2015). Mini-review: the effects of apples on plasma cholesterol levels and cardiovascular risk - a review of the evidence. *The Journal of Horticultural Science and Biotechnology*, 84(6), 34-41. doi: <https://doi.org/10.1080/14620316.2009.11512592>
- Kanwar, J.R., Roy, K., Patel, Y., Zhou, S.-F., Singh, M.R., Singh, D., Nasir, M., Sehgal, R., Sehgal, A., & Singh, R.S. (2015). Multifunctional iron bound lactoferrin and nanomedicinal approaches to enhance its bioactive functions. *Molecules*, 20(6), 9703-9731. doi: <https://doi.org/10.3390/molecules20069703>
- Katouzian, I., & Jafari, S.M. (2016). Nano-encapsulation as a 386 promising approach for targeted delivery and controlled release of vitamins. *Trends in Food Science & Technology*, 53, 34-48. doi: <https://doi.org/10.1016/j.tifs.2016.05.002>
- Kim, S.E., Yun, Y.P., Lee, J.Y., Park, K., & Suh, D.H. (2014). Osteoblast activity of MG-63 cells is enhanced by growth on a lactoferrin-immobilized titanium substrate. *Colloids and Surfaces B: Biointerfaces*, 123(1), 191-198. doi: <https://doi.org/10.1016/j.colsurfb.2014.09.014>

- Mirhosseini, H., Tan, C.P., Hamid, N.S.A., & Yusof, S. (2008). Effect of arabic gum, xanthan gum and orange oil content n ζ -potential, conductivity, stability, size index and pH of orange beverage emulsion. *Colloids and Surfaces A: Physicochemical and Engineering Aspects*, 315(1), 47-56. doi: <https://doi.org/10.1016/j.colsurfa.2007.07.007>
- Mohammadi, A., Jafari, S.M., Esfanjani, A.F., & Akhavan, S. (2016). Application of nano-encapsulated olive leaf extract in controlling the oxidative stability of soybean oil. *Food Chemistry*, 190, 513-519. doi: <https://doi.org/10.1016/j.foodchem.2015.05.115>
- Mohnen, D. (2008). Pectin structure and biosynthesis. *Current Opinion in Plant Biology*, 11(3), 266-277. doi: <https://doi.org/10.1016/j.pbi.2008.03.006>
- Mosmann, T.R. (1983). Rapid colorimetric assay for cellular growth and survival: application to proliferation and cytotoxicity assay. *Journal of Immunological Methods*, 65(1-2), 55-63. doi: [https://doi.org/10.1016/0022-1759\(83\)90303-4](https://doi.org/10.1016/0022-1759(83)90303-4)
- Naot, D., Palmano, K., & Cornish, J. (2012). Lactoferrin-A potential anabolic intervention in osteoporosis. *Yannis Dionyssiotis*, 39, 803-820.
- Peinado, I., Lesmes, U., Andrés, A., & McClements, J.D. (2010). Fabrication and morphological characterization of biopolymer particles formed by electrostatic complexation of heat treated lactoferrin and anionic polysaccharides. *Langmuir*, 26(12), 9827-9834. doi: <https://doi.org/10.1021/la1001013>
- Plotkin, L.I., Weinstein, R.S., Parfitt, A.M., Roberson, P.K., Manolagas, S.C., & Bellido, T. (1999). Prevention of osteocyte and osteoblast apoptosis by bisphosphonates and calcitonin. *Journal of Clinical Investigation*, 104, 1363-1374.
- Raei, M., Rajabzadeh, G., Zibaei, S., Jafari, S.M., & Sani, A.M. (2015). Nano-encapsulation of isolated lactoferrin from camel milk by calcium alginate and evaluation of its release. *International Journal of Biological Macromolecules*, 79, 669-673. doi: <https://doi.org/10.1016/j.ijbiomac.2015.05.048>
- Sejersen, M.T., Salomonsen, T., Ipsen, R., Clark, R., Rolin, C., & Engelsen, S.B. (2007). Zeta potential of pectin-stabilised casein aggregates in acidified milk drinks. *International Dairy Journal*, 17(4), 302-307. doi: <https://doi.org/10.1016/j.idairyj.2006.03.003>
- Singh, O., & Burgess, D. (1989). Characterization of albumin-alginic acid complex coacervation. *Journal of Pharmacy and Pharmacology*, 41(10), 670-673. doi: <https://doi.org/10.1111/j.2042-7158.1989.tb06338.x>
- Smithers, G.W. (2008). Whey and whey proteins-from 'gutter-to-gold'. *International Dairy Journal*, 18(7), 695-704. doi: <https://doi.org/10.1016/j.idairyj.2008.03.008>
- Surh, J., Decker, E.A., & McClements, D.J. (2006). Influence of pH and pectin type on properties and stability of sodium-caseinate stabilized oil-in-water emulsions. *Food Hydrocolloids*, 20(5), 607-618. doi: <https://doi.org/10.1016/j.foodhyd.2005.07.004>
- Takaoka, R., Hikasab, Y., Hayashic, K., & Tabata, Y. (2011). Bone regeneration by lactoferrin released from a gelatin Hydrogel. *Journal of Biomaterials Science, Polymer Edition*, 22(12), 1581-1589. doi: <https://doi.org/10.1163/092050610X517095>
- Takayama, Y., & Mizumachi, K. (2008). Effect of bovine lactoferrin on extracellular matrix calcification by human osteoblast-like cells. *Biosci Biotechnol and Biochem*, 72(1), 226-30. doi: <https://doi.org/10.1271/bbb.70465>
- Tate, M.L., Adamson, J.R., Tami, A.E., & Bauer, T.W. (2004). The osteocyte. *The International Journal of Biochemistry and Cell Biology*, 36(1), 1-8. doi: [https://doi.org/10.1016/S1357-2725\(03\)00241-3](https://doi.org/10.1016/S1357-2725(03)00241-3)
- Tomita, M., Wakabayashi, H., Shin, K., Yamauchi, K., Yaeshima, T., & Iwatsuki, K. (2009). Twenty-five years of research on bovine lactoferrin applications. *Biochimie*, 91(1), 52-57. doi: <https://doi.org/10.1016/j.biochi.2008.05.021>
- Tromp, R.H., de Kruif, C.G., van Eijk, M., & Rolin, C. (2004). On the mechanism of stabilisation of acidified milk drinks by pectin. *Food Hydrocolloids*, 18(4), 565-572. doi: <https://doi.org/10.1016/j.foodhyd.2003.09.005>
- Wang, Z., & McCauley, L.K. (2011). Osteoclasts and odontoclasts: signaling pathways to development and disease. *Oral Diseases*, 17(2), 129-42. doi: <https://doi.org/10.1111/j.1601-0825.2010.01718.x>
- Ye, A. (2008). Complexation between milk proteins and polysaccharides via electrostatic interaction: principles and applications-a review. *International Journal of Food Science & Technology*, 43(3), 406-415. doi: <https://doi.org/10.1111/j.1365-2621.2006.01454.x>

The Effect of Encapsulated Camel milk's Lactoferrin with Whey Protein Isolate-pectin Complexes on the Growth and Viability of MG63 Osteoblast Cell

Masoumeh Raei¹, Fakhri Shahidi^{2*}, Majid Farhoodi³,
Seid Mahdi Jafari⁴, Ali Rafe⁵

1- PhD Student, Department of Food Science and Technology, Ferdowsi University of Mashhad, Mashhad, Iran

2- Professor, Department of Food Science and Technology, Ferdowsi University of Mashhad, Mashhad, Iran

* Corresponding author (niloofar1373@yahoo.com)

3- Assistant Professor, Razi Vaccine & Serum Research Institute, Mashhad, Iran

4- Associate Professor, Department of Food Materials and Process Design Engineering, Gorgan University of Agricultural Sciences and Natural Resources, Gorgan, Iran

5- Associate Professor, Department of Food Processing, Research Institute of Food Science and Technology, Mashhad, Iran

Abstract

Lactoferrin is one of the most important bioactive compounds that can increase the activity of the immune system and osteogenicity. However, it is sensitive to environmental stresses. Hence, the production of functional beverage including encapsulated lactoferrin by noncomplex of WPI/HMP was investigated in the current work. Nanocomplex was prepared by a complexation of whey protein isolate (WPI)-high methoxyl pectin (HMP) at total biopolymer concentration of 0.4% (w/w) at pH values of 3, 3.5 and 4 through post and pre-blending acidification procedures. In order to encapsulate lactoferrin, it was inserted to the WPI/HMP complex in which formed by the ratio 2:1 and pre-acidification (Pr-A). The results of Zeta-potential and particle sizes showed that by increasing HMP, the negative sites of the complex increased as well as the size of nano-particles. The effect of entrapped lactoferrin in WPI/HMP nano-particles on osteoblastic proliferation by MTT assay showed WPI/HMP+LF50 µg/mL a growth equal to the rate of positive control. For example the pure lactoferrin concentration of 50 µg/mL progressed 16% growth compared to the positive control. Therefore, it can be concluded that almost all lactoferrin in WPI/HMP+LF50 µg/mL combined or complexed and the cell access failed. The lactoferrin entrapped by WPI/HMP+LF100 µg/mL had a 113% growth and statistically occurred at level of pure lactoferrin 50 µg/mL.

Keywords: Beverage, Lactoferrin, Osteoblast, Pectin, Whey Protein Isolate